

高分散纳米二氧化钛混合晶体的合成、结构与光催化性能

王振兴 丁士文* 张美红

(河北大学化学与环境科学学院,保定 071002)

关键词：高分散纳米二氧化钛；混晶；制备；光催化性能

中图分类号：O611.4；O614.41¹；O644.1 文献标识码：A 文章编号：1001-4861(2005)03-0437-04

Synthesis, Structure and Photocatalysis of Nano-TiO₂ Mixed Crystals

WANG Zhen-Xing DING Shi-Wen* ZHANG Mei-Hong

(College of Chemistry and Environmental Science, Hebei University, Baoding 071002)

Abstract: Using TiCl₄ and urea as the raw materials and nanometric carbon black as plate, nanometric mix-crystals of rutile and anatase TiO₂ were prepared at 100 °C for 10~180 min by homogeneous precipitation method. The effects of pH on the ratio of nanometer TiO₂ mix-crystals were also discussed. TEM measurement indicates that the TiO₂ is spherical particles, and the average diameter of the particles is 20 nm. XRD and TG-DTA were also used to characterize the nanometer mix-crystal materials. The photocatalytic experiment show that the mix-crystal material has the best photocatalytic reactivity. After being irradiated under the sunlight for 40 min, the compound can completely degrade the acid-red 3R.

Key words: nano-TiO₂; mix-crystal; preparation; photocatalysis

0 引言

纳米二氧化钛是一种重要的半导体光催化材料，它具有光催化降解有机物活性高、化学性质稳定、耐化学和光化学腐蚀以及无毒等特性，因而在污水处理及空气净化等方面有着重大的潜在应用价值^[1-4]。然而 TiO₂ 是宽禁带材料，仅能吸收太阳光谱的紫外光部分，太阳能利用效率低，通常需要用紫外光源来激发，这限制了其实际的应用。为了提高 TiO₂ 对太阳光的利用率，人们进行了许多有益的尝试，比如 Ross 等人报道用有机染料敏化 TiO₂ 可提高其对太阳光谱的利用率^[5]。但敏化剂与污染物之间存在着吸附竞争，同时敏化后的 TiO₂ 光稳定性也不理

想。Falconer 等人采用 Pt 贵金属掺杂对 TiO₂ 进行了改性^[6]，但贵金属的昂贵价格是众所周知的。中科院物理所的袁志好、张立德等人报道他们采用溶胶-凝胶法制备出了 TiO₂ 与 ZnFe₂O₄ 的纳米复合材料，并对苯酚废水进行了处理实验，效果不错^[7]。但是由于溶胶-凝胶法的生产成本太高，很难实现大规模生产。本文尝试以普通廉价无机盐为原料，将具有不同晶型、不同带隙的锐钛矿型和金红石型纳米 TiO₂ 进行复合，使之形成掺杂能级，以提高其光谱响应，从而提高太阳光的利用率。为此，我们开展了一系列的研究，摸索出了可以控制锐钛矿型和金红石型纳米 TiO₂ 比例的条件，并进行了相应的光催化实验，得到了较好的效果。

收稿日期：2004-08-23。收修改稿日期：2004-10-19。

河北省自然科学基金重点资助项目(No.202104)。

*通讯联系人。E-mail: dingsw@mail.hbu.edu.cn

第一作者：王振兴，男，21岁，2002级本科生，研究方向：无机合成与纳米材料。

1 实验部分

1.1 实验仪器和药品

采用的原料 $TiCl_4$ 、尿素、碳黑等均为国产分析纯试剂;酸性红 3R 染料为市售产品;全部实验用水为二次蒸馏水。主要仪器有:Y-2000 型 X 射线衍射仪,JEM-1000SX 透射电子显微镜,WCT-2 热分析仪,UV-1200 紫外可见分光光度计等。

1.2 纳米 TiO_2 混晶的合成

取 100 mL 水,放入 500 mL 的三颈瓶中,加入适量 HCl 和适量纳米级碳黑(粒度 25 nm),在通风橱中用干燥量筒量取 22 mL $TiCl_4$ (0.1 mol),缓缓加入到上述溶液中。将上述溶液快速加热到 100 °C,恒温反应 10~60 min 后,再将溶有一定量尿素的水溶液快速加入上述溶液中,在碱性条件下于 100 °C 回流反应 2 h,减压抽滤、洗涤,然后在 100 °C 干燥,最后放入马弗炉 650 °C 灼烧 30 min,取出样品,用 XRD、TEM 等对其进行表征。

1.3 光催化性能实验

(1) 配制 50 mg·L⁻¹ 的酸性红 3R 染料溶液(呈深红色),分别取 150 mL 置于 250 mL 的锥形瓶中,分别加入 75 mg 一系列不同比例(金红石含量为 5%,9.8%,10.2%···,60.5% 等)的纳米混晶样品,8 份样品同时放在室外平台上,磁力搅拌,在太阳光照射下进行催化反应,40 min 后取样测试,在 UV-1200 紫外分光光度计上将其 $A-\lambda$ 曲线进行全波段(195~850 nm)扫描,进行分析。降解效果以降解率 D(%) 表示:

$$D = [(A_0 - A) / A_0] \times 100\%$$

A_0 : 染料溶液最大吸收峰的初始吸光度; A : 染料溶液最大吸收峰的最终吸光度。

(2) 分别取 150 mL 酸性红 3R 染料溶液置于 250 mL 的锥形瓶中,分别加入 75 mg 金红石型 TiO_2 、锐钛矿 TiO_2 和金红石含量 15% 的纳米混晶样品,3 份样品同时放在室外平台上,磁力搅拌,在太阳光照射下进行催化反应,每隔 10 min 取样测试,在 UV-1200 紫外分光光度计上将其 $A-\lambda$ 曲线进行全波段(195~850 nm)扫描,进行分析。降解效果的计算公式与上同。

2 结果与讨论

2.1 脱碳温度的选择

为了有效防止纳米粒子在烘干过程中发生硬团聚,为此加入适量纳米级碳黑作为阻聚剂。样品烘干

后,经适当温度灼烧,以将碳黑完全除去。利用热分析仪测定了金红石含量为 15% 样品反应中间体随温度的变化情况,结果如图 1 所示。

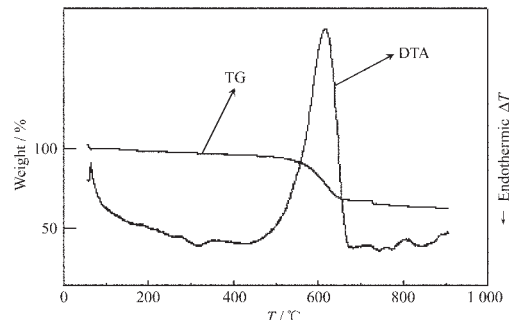


图 1 样品灼烧前的 TG-DTA 曲线

Fig.1 TG-DTA curve of precursor

由图 1 可以看出,在 DTA 曲线上,样品在 600 °C 有一个很强的放热峰,同时在 TG 曲线上有明显失重变化,可以断定此放热峰为碳黑的燃烧所致,所以除碳温度定为 650 °C。在 DTA 曲线上于 850 °C 还有一放热峰,但是 TG 曲线无变化,可以推论此峰为锐钛矿型向金红石型的转变峰。为了验证这一点,将含金红石相 50% 的混晶样品在 900 °C 灼烧后,再作 XRD 物相分析,发现样品全部转变为金红石相。

2.2 反应介质酸碱度对晶型的影响

$TiCl_4$ 水解生成 TiO_2 的晶体结构受体系酸碱度影响很大,一般来讲,在酸性条件下生成金红石型,在碱性条件下则是锐钛矿结构。所以在制备过程中,首先保持溶液在酸性条件下反应若干分钟,使之生成一定量的金红石相后,再快速加入尿素溶液。由于尿素在 100 °C 能快速分解出 OH⁻ 构晶离子,使体系保持在碱性环境,从而使生成的 TiO_2 为锐钛矿结构。这样,通过控制反应体系在不同酸碱度反应的时间,就可以任意调整混晶中两种不同晶型的比例,根据定量分析公式^[8]:

$$x = 1 / (1 + 0.8I_A / I_R)$$

可以计算出金红石相在混晶中的含量。其中 I_A 和 I_R 分别为锐钛矿和金红石相的(101)衍射面($2\theta=25.4^\circ$)和(110)衍射面($2\theta=27.4^\circ$)的衍射强度。

2.3 样品的 XRD 分析

对在酸性介质中反应不同时间所得到的样品分别进行 XRD 物相分析,结果如图 2 所示。

图 2a 是将 $TiCl_4$ 与尿素完全混合后,快速加热到 100 °C 反应 2 h,经过滤、洗涤和烘干,再于 650 °C 灼烧 30 min 后所得样品的 XRD 图谱,由于反应是

在碱性条件下进行的,所以样品为纯锐钛矿结构。图 2f 是将 $TiCl_4$ 完全在酸性条件下反应所得样品的 XRD 图谱,结果证实为金红石型。图 2b~2e 是 $TiCl_4$ 水溶液在酸性条件下分别反应 10 min、20 min、40 min、60 min 后,再快速加入尿素于 100 ℃反应 2 h 后所得样品的 XRD 图谱,可以发现,随着在酸性介质中反应时间的延长,混晶中金红石相逐渐增加。所以说,可以通过控制反应体系的酸碱度,尤其是控制在酸性介质中的反应时间,来实现混晶中二者比例的任意调控。

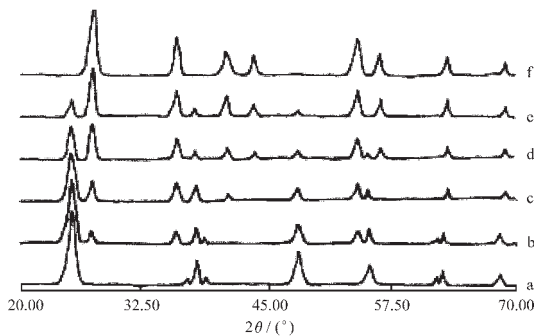


图 2 在酸性介质中反应不同时间样品的 XRD 图

Fig.2 XRD patterns of at vary time sample for acidity medium

a: 0 min(anatase); b: 10 min; c: 20 min;
d: 40 min; e: 60 min; f: rutile

2.4 样品的 TEM 分析

图 3 是金红石含量为 15% 时样品的 TEM 照片。从图中可以看出,粒子基本为球形,约为 20 nm,且粒度分布很均匀。同时利用 X-射线衍射数据,根据 Scherrer 公式: $D=K\lambda/\beta\cos\theta$ 可计算出晶粒的粒径为 18.5 nm,与 TEM 基本吻合。式中 D 为晶粒尺寸, K 为常数($=0.89$), λ 为射线波长($=0.154\ 178\ nm$), θ 为布格拉衍射角, β 为测量的积分峰宽(弧度)。

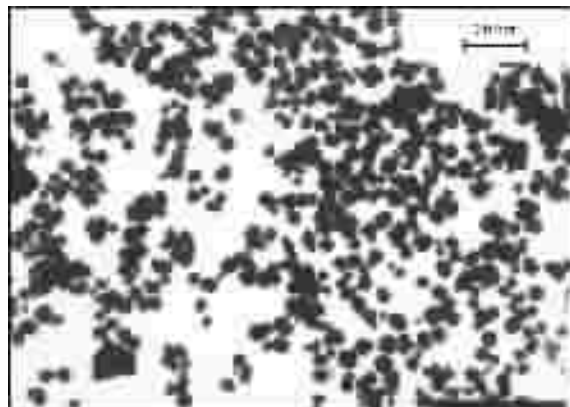


图 3 样品的 TEM 照片($\times 10$ 万倍)

Fig.3 TEM photograph of sample

2.5 光催化性能

实验研究了不同含量混晶样品对酸性红 3R 有机染料在太阳光照射下的降解效果,并与纯的金红石和纯锐钛矿样品进行了对比,结果如图 4、图 5 所示。

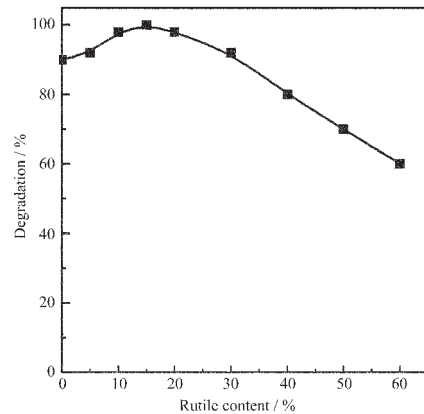


图 4 不同金红石含量样品对酸性红 3R 的降解率

Fig.4 Degradation of acid red 3R on various rutile content

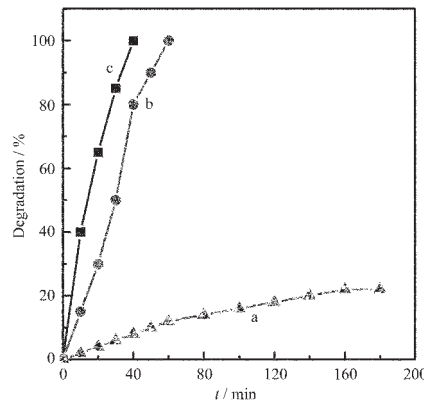


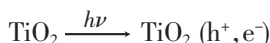
图 5 不同晶型 TiO_2 样品对酸性红 3R 的降解率

Fig.5 Degradation of acid red 3R on different TiO_2 system

图 4 是不同比例的混晶样品在太阳光下照射 40 min 后对酸性红 3R 的降解曲线。从图中可以看出,随着样品中金红石相含量的增加,样品对酸性红 3R 染料的降解率出现了先增大而后由减小的趋势,当混晶中金红石相为 15% 左右时,催化效果最好。图 5 显示了纯金红石型(a)、纯锐钛矿型(b)和金红石含量为 15% 混晶样品(c)降解酸性红 3R 随时间变化的关系。实验发现,金红石型纳米 TiO_2 的光催化效果最差;锐钛矿结构纳米 TiO_2 作为光催化剂时,在太阳光照射 60 min 后,对酸性红 3R 的降解率接近 100%;而含金红石相 15% 混晶样品的光催化效果最

好, 光照 40 min 后对酸性红 3R 的降解率可达 100%。用重铬酸钾法测定其相应的 COD_{Cr} 去除率亦接近 100%。说明采用混晶纳米 TiO₂ 光降解染料溶液不仅能迅速破坏染料中的发色基团, 而且能有效地破坏染料分子中的芳香基团。

其基本原理是, 纳米微粒由于尺寸小, 表面所占的体积百分数大, 表面的键态和电子态与颗粒内部不同, 表面原子配位不全等导致表面的活性位置增加, 且随着粒径的减小, 表面光滑程度变差, 形成了凹凸不平的原子台阶, 这就增加了纳米材料的吸附性和化学反应的接触面^[1]。另外, 纳米 TiO₂ 由于量子尺寸效应使其导带和价带能级变成分裂能级。因此当纳米 TiO₂ 受到太阳能的辐射后, 处于价带的电子就被激发到导带, 价带便生成空穴(h⁺):



空穴 h⁺本身是强氧化剂将吸附在 TiO₂ 颗粒表面的-OH 和 H₂O 分子氧化生成·OH 自由基, 缔合在 TiO₂ 表面的·OH 为强氧化剂, 可以氧化相邻的有机物, 而且可以扩散到液相中氧化有机物, 把各种有机物通过一系列的氧化过程, 最终氧化成 CO₂ 和 H₂O, 从而完成对有机物的降解。另外最主要的是, 两种不同晶型的 TiO₂ 混合类似于半导体-半导体耦合^[8], 两种不同结构的纳米粒子由于能带宽度的不同, 可形成类似的掺杂能级, 导致载流子的扩散长度增大, 从

而延长了电子和空穴的寿命, 抑制了 e⁻/h⁺复合, 最终导致复合材料的太阳能利用率的提高, 光催化效果显著。

参考文献:

- [1] ZHANG Li-De(张立德), MOU Ji-Mei(牟季美). *Nano-Material and Nano-Structure*(纳米材料和纳米结构). Beijing: Science Press, 2001.59,88,90
- [2] HE Bei-Ping(贺北平), WANG Zhan-Sheng(王占生), et al. *Huanjing Kexue(Chinese Environ. Sci.)*, 1994, 15(3):80~84
- [3] Yoneyama H. *Cryt. Rev. Solid State Mater. Sci.*, 1993, 18: 69~74
- [4] HU Chun(胡春), WANG Yi-Zhong(王怡中). *Huanjing Kexue(Chinese Environ. Sci.)*, 2000, 21(3):71~75
- [5] Ross H, Bending J, Hecht S. *Solar Energy Mater. Solar Cells*, 1994, 33:475~479
- [6] Kim K K, Lee E H. *Journal of Photochemistry and Photobiology A: Chemistry*, 2003, 161:11~20
- [7] Yuan Z H, Jia J H, Zhang L D. *Materials Chemistry and Physics*, 2002, 73:323~326
- [8] ZHANG Qing-Hong(张青红), GAO Lian(高濂), GUO Jing-Kun(郭景坤). *Wuji Cailiao Xuebao(Chinese J. of Inorg. Mater.)*, 2000, 15:992~997
- [9] DING Shi-Wen (丁士文), ZHANG Shao-Yan (张绍岩), et al. *Wuji Huaxue Xuebao(Chinese J. Inorg. Chem.)*, 2002, 18(10): 1015~1019